



بررسی انتشار امواج در تک لایه ایزوتروپیک عرضی با ضخامت محدود، با استفاده از روش توابع

پتانسیل

هادی تیموری^۱، حسن بیگلری^{۲*}

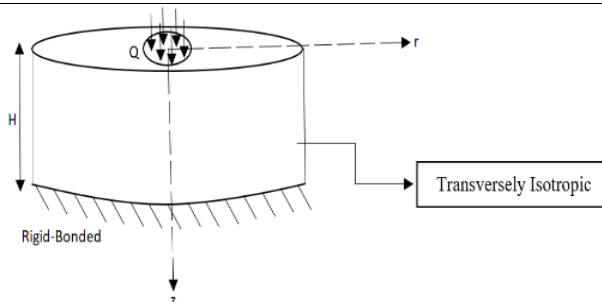
^۱ کارشناسی ارشد، دانشکده مهندسی مکانیک، دانشگاه تبریز، تبریز، ایران

^۲ دانشیار، دانشکده مهندسی مکانیک، دانشگاه تبریز، تبریز، ایران

برجسته‌ها

- ماده‌ی ایزوتروپیک عرضی Glass/Epoxy بیشینه توابع گرین تنش و تغییر مکان را دارا می‌باشد.
- بارگذاری حلقوی باعث ایجاد ماکزیمم زاویه فرکانس حاصل از نشر موج برای توابع گرین تنش و جابجایی می‌گردد.

چکیده گرافیکی



مشخصات مقاله

تاریخچه مقاله:

نوع مقاله: علمی پژوهشی

دریافت: ۱۴۰۱/۰۱/۰۹

بازنگری: ۱۴۰۱/۰۲/۲۳

پذیرش: ۱۴۰۱/۰۲/۳۱

ارائه برخط: ۱۴۰۱/۰۴/۰۷

*نویسنده مسئول: hbiglari@tabrizu.ac.ir

کلیدواژه‌ها:

انتشار امواج

توابع پتانسیل

تبدیل هنکل

ایزوتروپیک عرضی

تک لایه

چکیده

در این مطالعه، انتشار امواج در تک لایه ایزوتروپیک عرضی مورد بحث واقع شده است. هدف از این مقاله، پیدا کردن توابع گرین انتشار امواج می‌باشد که جهت یافتن تنش‌ها و تغییر مکان‌های حاصل از نشر موج نیروهای هارمونیک که روی سطح تک لایه مورد نظر واقع شده‌اند، صورت گرفته است. معادلات انتشار امواج در تک لایه ایزوتروپیک عرضی، معادلات دیفرانسیل پیچیده با مشتقات جزئی می‌باشند که با استفاده از توابع پتانسیل، معادلات حاکم به دو معادله مجزا تبدیل می‌شوند. سپس معادلات به‌دست‌آمده با استفاده از تبدیل هنکل در راستای شعاعی و سری فوریه در راستای محیطی، به معادلات ساده‌تری تبدیل می‌شوند که به کمک شرایط مرزی حاکم بر مسئله این معادلات به راحتی حل می‌گردند. به منظور صحت و دقت نتایج عددی به‌دست‌آمده، یک رویکرد مقایسه‌ای ارائه شده است. نتایج عددی حاصل از نشر موج برای تک لایه ایزوتروپیک عرضی تحت فرکانس، بارگذاری و جنس‌های مختلف، مورد تجزیه و تحلیل قرار گرفته شده‌اند. از جمله نتایج مهم حاصل از این تحقیق این است که ماده‌ی ایزوتروپیک عرضی Glass/Epoxy بیشینه توابع گرین تنش و تغییر مکان را دارا می‌باشد و هم‌چنین بارگذاری حلقوی باعث ایجاد ماکزیمم زاویه فرکانس حاصل از نشر موج برای توابع گرین تنش و جابجایی می‌گردد.

۱- مقدمه

انتشار امواج در تک لایه ایزوتروپیک عرضی، ناشی از یک منبع هارمونیک از جمله مباحث قابل توجه در مهندسی مکانیک جامدات می‌باشد. دلیل این امر کاربردهای گوناگون این مواد، به خصوص در رویه‌های پانل ساندویچی می‌باشد. با توجه به این امر که استفاده از خاصیت ایزوتروپیک عرضی در بسیاری از مصالح از جمله لایه‌های چوب و مواد لاستیکی فشرده با ضخامت محدود، در بسیاری از صنایع از جمله سازه‌های نظامی و هوافضا کاربرد زیادی دارد، می‌توان از کاربرد تحقیق حاضر برای مدل‌سازی اثر انفجار (با استفاده از تابع دلتای دیراک) در روی این مصالح استفاده کرد. هم‌چنین در نظر داریم، تحقیق حاضر معادلات رفتاری مصالح ایزوتروپیک عرضی با ضخامت محدود در زمینه مکانیک را در برمی‌گیرد که در مراجع علمی به این حالت خیلی کمتر پرداخته شده است.

تعیین توابع گرین دینامیکی در محیط‌های ایزوتروپ به تفصیل مورد بررسی قرار گرفته است. مقاله پایه‌ای در زمینه انتشار امواج در محیط‌های ایزوتروپ مربوط به لمب می‌باشد [۱]. او در این مقاله، انتشار امواج ناشی از بار هارمونیک وارد بر یک محیط ایزوتروپ و نیمه بی‌نهایت را بررسی کرده است و میدان تغییر مکان را در دو حالت دو بعدی و سه بعدی به دست آورده است. بعد از لمب محققان زیادی در زمینه انتشار امواج در محیط‌های ایزوتروپ تحقیق کرده‌اند و تحقیقات گسترده‌ای را ارائه کرده‌اند که از آن جمله می‌توان به آخنباخ اشاره کرد [۲]. رایس و سد [۳] انتشار امواج و پراکندگی موج را با استفاده از روش المان مرزی جلو بردند؛ آن‌ها به کمک یک تابع گرین، معادله انتگرال مرزی را توسعه داده و به یک مجموعه محدود از روابط جبری تفکیک کردند. سپس با به کارگیری توابع گرین توانستند، دو فرم انتگرالی برای جابجایی‌ها و تنش‌های محیط به دست آورند.

استفاده از توابع پتانسیل به‌عنوان روشی کارا و مؤثر در تسهیل حل مسائل پیچیده مقادیر مرزی همواره مورد توجه محققین قرار داشته است به طوری که بسیاری از محققین در حوزه مسائل تئوری الاستیسیته نیز از این توابع برای تبدیل

معادلات پیچیده حاکم بر مسئله به معادلاتی ساده‌تر و بعضاً دارای مفاهیم فیزیکی شناخته‌شده بهره برده‌اند. در این میان راه‌حل‌های ارائه‌شده توسط هاردینگ و اسندون [۴] در حوزه مسائل الاستوستاتیک با توجه به کارگیری توابع پتانسیل در کنار تبدیلات انتگرالی برای حل این مسائل از اهمیت بسزایی برخوردار می‌باشد. پک [۵] پاسخ یک محیط ایزوتروپیک و ارتجاعی نیمه متناهی به یک بارگذاری مدفون هارمونیک زمانی را با استفاده از روش توابع پتانسیل به دست آورد.

در حال حاضر با توجه به استفاده روزافزون از مواد غیر ایزوتروپیک، نیاز به تحقیقات در زمینه انتشار امواج در این محیط‌ها بیشتر احساس می‌شود. اکثر صنایع نظامی مانند جلیقه‌های ضد گلوله و پره‌های هلیکوپتر دارای خاصیت غیر ایزوتروپیک می‌باشند. با توجه به ملاحظات کاربردی در زمینه مهندسی مکانیک، محیط‌های غیر ایزوتروپیک معمولاً به صورت ایزوتروپیک عرضی و ارتوتروپیک مدل می‌شوند. تعیین توابع گرین استاتیکی برای محیط‌های با رفتار ایزوتروپیک عرضی نیز توسط محققین مورد بررسی قرار گرفته است. پن و چو [۶] توابع گرین استاتیکی ناشی از بارگذاری نقطه‌ای را برای محیط‌های بی‌نهایت و نیمه بی‌نهایت ایزوتروپیک عرضی ارائه کردند. بو چوالد و پیتون [۷، ۸] مسائل الاستودینامیک مربوط به محیط‌های نیمه بی‌نهایت ایزوتروپیک عرضی تحت اثر بارگذاری سطحی را بررسی کردند. چن و همکاران توانستند، انتشار موج ریلی را در نزدیکی سطح محیط متخلخل اشباع شده از سیال را مورد بررسی قرار دهند [۹]. لیانگ و همکاران [۱۰]، توابع گرین یک محیط متخلخل اشباع با رفتار ایزوتروپیک عرضی را که تحت نیروهای مدفون یکنواخت دایروی قرار گرفته بود را مورد مطالعه و بررسی قرار دادند؛ معادلات حرکت، بر پایه‌ی فرموله‌ای U_i-P بیان شدند و با کمک انتگرال هنکل و بسط سری فوریه، به فضای فوریه-هنکل انتقال داده شدند.

تحلیل‌های پیچیده ریاضی که منجر به ارائه فرمولاسیون دقیق مسئله انتشار امواج می‌گردند، امکان درک صحیح‌تر فیزیک انتشار امواج را فراهم می‌نمایند. در این راستا اسکندری قادی [۱۱] دو تابع پتانسیل کامل برای جداسازی معادلات حرکت در مسائل الاستودینامیکی ایزوتروپیک

نیمه بی‌نهایت متخلخل اشباع چندلایه، مورد توجه محققان مختلفی قرار گرفته است. در این زمینه ارتعاشات دیسک صلب در یک محیط نیمه بی‌نهایت متخلخل و اشباع چندلایه توسط تیموری و همکاران مورد بررسی واقع شده است [۲۰]. تجزیه و تحلیل دینامیکی محیط‌های متخلخل غیر اشباع چندلایه، تحت یک بارگذاری هارمونیک عمودی توسط پی و ای مورد مطالعه قرار گرفته شده است [۲۱].

با بررسی منابع و مراجع مشاهده می‌شود که مطالعات فراوانی در زمینه انتشار امواج در محیط‌های بی‌نهایت و نیمه بی‌نهایت ایزوتروپیک و غیر ایزوتروپیک، صورت گرفته است، ولی برای محیط‌های غیر ایزوتروپیک با ضخامت محدود یا تک لایه غیر ایزوتروپیک که مواد بسیار مهمی در مکانیک جامدات محسوب می‌شوند و در بخش‌های مختلفی از جمله پانل‌های ساندویچی کاربرد فراوانی دارند، تحقیقات خاصی انجام نگرفته است. به همین دلیل در این مقاله، انتشار موج ناشی از نیروهای هارمونیک با زمان برای تک لایه ایزوتروپیک عرضی با ضخامت محدود مورد تجزیه و تحلیل قرار گرفته است. در ابتدا معادلات حاکم الاستودینامیک برای چنین محیطی ارائه شده است و سپس با استفاده از توابع پتانسیل، معادلات دیفرانسیلی پیچیده به دو معادله تبدیل می‌گردند. حل این معادلات در فضای زمانی کار دشواری است، پس در گام بعدی با استفاده از سری فوریه در راستای مؤلفه مماسی و اعمال تبدیل انتگرال هنکل در راستای شعاعی، پاسخ‌های توابع پتانسیل یاد شده در فضای تبدیل یافته به دست می‌آیند. سپس به کمک معکوس تبدیل انتگرال هنکل، توابع گرین حاصل از نشر موج در فضای فرکانسی به دست می‌آیند که به صورت گرافیکی نمایش و مورد بررسی قرار می‌گیرند.

۲- بیان مسئله

ماده‌ای با رفتار ایزوتروپیک عرضی را در دستگاه مختصات استوانه‌ای (r, θ, z) در نظر بگیرید که محور z عمود بر صفحه‌ی ایزوتروپیک باشد. مطابق شکل ۱ نیروی هارمونیک روی سطح ماده مورد نظر اعمال می‌گردند و سطح انتهایی این ماده کاملاً بسته شده است.

عرضی ارائه کرده است. رحیمیان و همکاران [۱۲] با بهره‌گیری از توابع پتانسیل کامل ارائه شده توسط اسکندری و با استفاده از روش پک، در حل مسائل محیط‌های نیمه بی‌نهایت ایزوتروپیک، رویکردی جدید را در تعیین تغییر مکان‌ها و تنش‌های یک محیط ایزوتروپیک عرضی ارائه دادند. خجسته و همکاران [۱۳] با بهره‌گیری از توابع پتانسیل ارائه شده توسط اسکندری قادی، پاسخ دینامیکی یک نیم فضای ایزوتروپیک عرضی تحت بارگذاری هارمونیک در عمق آن را مورد بررسی و تحلیل قرار دادند. خجسته و همکاران [۱۴, ۱۵] با استفاده از توابع پتانسیلی که توسط اسکندری قادی پیشنهاد شده است و با به‌کارگیری رویکرد ارائه شده توسط رحیمیان و همکاران، توابع گرین یک محیط دوگانه و همین‌طور یک نیم فضای دو لایه ایزوتروپیک عرضی را برای یک بارگذاری دلخواه هارمونیک در درون آن‌ها تعیین نمودند؛ در واقع مطالعات انجام یافته توسط آن‌ها در رشته مهندسی عمران می‌باشد و بارهای اعمالی بیانگر حالت بار وارده به زمین بوده، بنابراین برای مدل‌سازی زمین با عمق نامحدود به کار گرفته‌اند، در حالی که در مهندسی مکانیک باید ضخامت محدود در نظر گرفته شود. اکبری و همکاران توابع گرین نامتقارن به محور عمودی یک محیط نیمه بی‌نهایت مواد FGM با رفتار ایزوتروپیک عرضی را مورد بحث قرار دادند [۱۶]. ظفری و همکاران یک محیط کاملاً بی‌نهایت مواد FGM با رفتار ایزوتروپیک عرضی را مورد بحث قرار دادند؛ آن‌ها این محیط را تحت تأثیر نیروی نقطه‌ای و نیروهای یکنواخت مدفون شده‌ی استاتیکی، مورد بررسی قرار دادند [۱۷]. موج‌های ریلی، لاو و استونلی در یک محیط متخلخل اشباع با رفتار ایزوتروپیک عرضی توسط محمودیان و همکاران مورد بررسی قرار گرفت. در این مقاله از سیستم مختصات کارتزین، استفاده شده و تمامی معادلات در این سیستم، به دست آمده‌اند. آن‌ها توانستند سرعت و ضریب میرایی هر سه نوع موج را به دست آورده و با هم دیگر مقایسه کنند [۱۸]. اسکندری و احمدی [۱۹]، توابع گرین استاتیکی یک محیط نیمه بی‌نهایت ایزوتروپیک عرضی را که به کمک یک ورق نازک با ضخامت t مورد تقویت قرار می‌گرفت را به دست آوردند؛ روش کلی آن‌ها استفاده از اصل جمع آثار بود. اخیراً بررسی انتشار امواج در محیط‌های

۳- معادلات حاکم

به اورتوتروپیک کار بسیار مشکلی است و توسط روش‌های عددی معمول قابل‌اعمال نمی‌باشند و در نظر داشته باشیم، اگر محیط ما به صورت محیط چندلایه در نظر گرفته شود، باید از ماتریس‌های انعکاس و شکست استفاده گردد.

معادلات حرکت ۱ یک دستگاه معادلات دیفرانسیل با مشتقات جزئی می‌باشند که حل این معادلات به این سادگی انجام نمی‌گیرند. به منظور مجزا سازی این معادلات از یکدیگر از دو تابع پتانسیل مجهول φ و χ استفاده شده است. مؤلفه‌های تغییر مکان برحسب توابع پتانسیل φ و χ در دستگاه مختصات استوانه‌ای و در حالت دینامیکی به صورت زیر تعریف می‌شود [۱۱]:

$$u_r = -\alpha_3 \frac{\partial^2 \varphi}{\partial r \partial z} - \frac{1}{r} \frac{\partial \chi}{\partial \theta}$$

$$u_\theta = -\alpha_3 \frac{1}{r} \frac{\partial^2 \varphi}{\partial \theta \partial z} + \frac{\partial \chi}{\partial r} \quad (2)$$

$$u_z = \left((1 + \alpha_1) \nabla_{r\theta}^2 + \alpha_2 \frac{\partial^2}{\partial z^2} + \frac{\rho \omega^2}{c_{66}} \right) \varphi$$

$f(r, z)$

که در رابطه بالا ثوابت α_i به فرم زیر هستند:

$$\nabla_{r\theta}^2 = \frac{\partial^2}{\partial r^2} + \frac{1}{r} \frac{\partial}{\partial r} + \frac{1}{r^2} \frac{\partial^2}{\partial \theta^2}$$

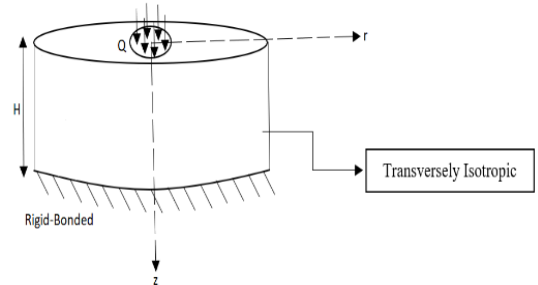
$$\alpha_1 = \frac{c_{66} + c_{12}}{c_{66}}, \quad \alpha_2 = \frac{c_{44}}{c_{66}}, \quad \alpha_3 = \frac{c_{13} + c_{44}}{c_{66}}$$

با قرار دادن روابط ۲ در معادلات ۱، دو معادله دیفرانسیل کاملاً مستقل از هم برحسب توابع پتانسیل φ و χ به صورت زیر به دست می‌آیند که ثوابت در آن به قرار رابطه ۴ هستند:

$$\left(\nabla_1^2 \nabla_2^2 + \delta \omega^2 \frac{d^2}{dz^2} \right) \varphi = 0 \quad (3)$$

$$\nabla_0^2 \chi = 0$$

معادلات حاکم برای انتشار موج داخل یک محیط ایزوتروپیک عرضی، برحسب مؤلفه‌های تغییر مکان به صورت زیر نوشته می‌شوند [۱۵]:



شکل (۱): ماده‌ای با رفتار ایزوتروپیک عرضی تحت نیروی

هارمونیک دلخواه با سطح انتهایی بسته شده.

$$c_{11} \left(\frac{\partial^2 u_r}{\partial r^2} + \frac{1}{r} \frac{\partial u_r}{\partial r} - \frac{u_r}{r^2} \right) + c_{66} \frac{1}{r^2} \frac{\partial^2 u_r}{\partial \theta^2} + c_{44} \frac{\partial^2 u_r}{\partial z^2} + \frac{c_{11} + c_{12}}{2} \left(\frac{1}{r} \frac{\partial^2 u_\theta}{\partial r \partial \theta} - \frac{1}{r^2} \frac{\partial u_\theta}{\partial \theta} \right) - 2c_{11} \frac{1}{r^2} \frac{\partial u_\theta}{\partial \theta} + (c_{13} + c_{44}) \frac{\partial^2 u_z}{\partial r \partial z} + \rho \omega^2 u_r = 0$$

$$c_{66} \left(\frac{\partial^2 u_\theta}{\partial r^2} + \frac{1}{r} \frac{\partial u_\theta}{\partial r} - \frac{u_\theta}{r^2} \right) + c_{11} \frac{1}{r^2} \frac{\partial^2 u_\theta}{\partial \theta^2} + c_{44} \frac{\partial^2 u_\theta}{\partial z^2} + \frac{c_{11} + c_{12}}{2} \left(\frac{1}{r} \frac{\partial^2 u_r}{\partial r \partial \theta} - \frac{1}{r^2} \frac{\partial u_r}{\partial \theta} \right) + 2c_{11} \frac{1}{r^2} \frac{\partial u_r}{\partial \theta} + (c_{13} + c_{44}) \frac{\partial^2 u_z}{\partial \theta \partial z} + \rho \omega^2 u_\theta = 0$$

$$c_{44} \left(\frac{\partial^2 u_z}{\partial r^2} + \frac{1}{r} \frac{\partial u_z}{\partial r} + \frac{1}{r^2} \frac{\partial^2 u_z}{\partial \theta^2} \right) + c_{33} \frac{\partial^2 u_z}{\partial z^2} + (c_{13} + c_{44}) \left(\frac{\partial^2 u_r}{\partial r \partial z} + \frac{1}{r} \frac{\partial u_r}{\partial z} + \frac{1}{r} \frac{\partial^2 u_\theta}{\partial r \partial \theta} \right) + \rho \omega^2 u_z = 0$$

که در رابطه بالا u_r ، u_θ و u_z مؤلفه‌های تغییر مکان به ترتیب در امتدادهای شعاعی، مماسی و عمودی می‌باشند. ρ جرم مخصوص محیط و ω فرکانس زاویه‌ای می‌باشد و همچنین c_{kl} معرف ثابت‌های الاستیسیته می‌باشند. در نظر داریم، این روابط دارای محدودیت‌های خطی می‌باشند که فقط تغییر شکل‌های کوچک را شامل می‌شوند و هم‌چنین بسط معادلات حاصل از حالت ایزوتروپیک عرضی

$$\tilde{\nabla}_i^2 = \frac{\rho \omega^2}{\mu_i c_{66}} - \xi^2 + \frac{1}{s_i^2} \frac{d^2}{dz^2} \quad i = 0, 1, 2$$

در روابط ۶، بالانویس m بیانگر مرتبه تبدیل هنکل و زیرنویس m بیانگر مقادیر سری فوریه مختلط می‌باشند. جواب عمومی معادلات ۶ که از نوع معادلات دیفرانسیل معمولی هستند، به شکل زیر می‌باشند:

$$\tilde{\varphi}_m^m(\xi, z) = C_1(\xi)e^{-\lambda_1 z} + D_1(\xi)e^{-\lambda_2 z} + C_2(\xi)e^{\lambda_1 z} + D_2(\xi)e^{\lambda_2 z} \quad (۸)$$

در روابط بالا، C_1, C_2, \dots, E_2 توابعی مجهول هستند که با نوشتن شرایط مرزی که در قسمت بعدی آورده خواهد شد، به دست می‌آیند. مقادیر $\lambda_{1,2}$ و λ_3 به صورت زیر تعریف می‌شوند:

$$\lambda_{1,2} = \sqrt{a\xi^2 + b \pm \frac{1}{2}\sqrt{c\xi^4 + d\xi^2 + e}} \quad (۹)$$

$$\lambda_3 = s_0 \sqrt{\xi^2 - \frac{\rho \omega^2}{c_{66}}}$$

که در رابطه بالا ثوابت عبارت‌اند از:

$$a = \frac{1}{2}(s_1^2 + s_2^2) \quad b = -\frac{\rho \omega^2}{2} \left(\frac{1}{c_{33}} + \frac{1}{c_{44}} \right)$$

$$c = (s_2^2 - s_1^2)^2 \quad e = \rho^2 \omega^4 \left(\frac{1}{c_{33}} - \frac{1}{c_{44}} \right)^2$$

$$d = -2\rho\omega \left[\left(\frac{1}{c_{33}} + \frac{1}{c_{44}} \right) (s_1^2 + s_2^2) - 2\frac{c_{11}}{c_{33}} \left(\frac{1}{c_{11}} + \frac{1}{c_{44}} \right) \right]$$

ریشه‌های روابط ۹ که بیانگر اعداد موج‌های حجمی می‌باشند عبارت‌اند از:

$$\xi \lambda_1 = \pm \omega \sqrt{\frac{\rho}{c_{11}}}, \xi \lambda_2 = \pm \omega \sqrt{\frac{\rho}{c_{44}}}, \dots \quad (۱۰)$$

$$\xi \lambda_3 = \pm \omega \sqrt{\frac{\rho}{c_{66}}}$$

$$\nabla_i^2 = \nabla_{r\theta}^2 + \frac{\rho\omega^2}{\mu_i c_{66}} + \frac{1}{s_i^2} \frac{\partial^2}{\partial z^2} \quad i = 0, 1, 2$$

$$\delta = \rho \left[\frac{-1}{c_{44}s_2^2} - \frac{1}{c_{11}s_1^2} + \frac{1}{c_{11}} \left(1 + \frac{c_{33}}{c_{44}} \right) \right] \quad (۴)$$

$$\mu_0 = 1 \quad \mu_1 = \alpha_2 \quad \mu_2 = 1 + \alpha_1$$

در روابط فوق، s_2 و s_1 و $s_0^2 = 1/\alpha_2$ ریشه‌های معادله زیر هستند:

$$c_{33}c_{44}s^4 + (c_{13}^2 + 2c_{13}c_{44} - c_{11}c_{33})s^2 + \dots + c_{11}c_{44} = 0$$

حل معادلات ۳ کار بسیار سخت و مشکلی است، برای رفع این مشکل با استفاده از سری فوریه مختلط در راستای مؤلفه مماسی و اعمال تبدیل انتگرال هنکل در راستای مؤلفه شعاعی، پاسخ‌های توابع پتانسیل یادشده در فضای تبدیل یافته به دست می‌آیند.

سری فوریه مختلط توابع پتانسیل φ و χ نسبت به θ ، به صورت زیر نوشته می‌شود [۱۲]:

$$[\varphi(r, \theta, z), \chi(r, \theta, z)] = \dots \sum_{m=-\infty}^{\infty} [\varphi_m(r, z), \chi_m(r, z)] e^{im\theta} \quad (۵)$$

تبدیل هنکل و معکوس هنکل مرتبه m ام نسبت به امتداد شعاعی برای $f(r, z)$ به صورت زیر به دست می‌آید [۱۲]:

$$\tilde{f}^m(\xi, z) = \int_0^{\infty} f(r, z) r J_m(r\xi) dr \quad (۶)$$

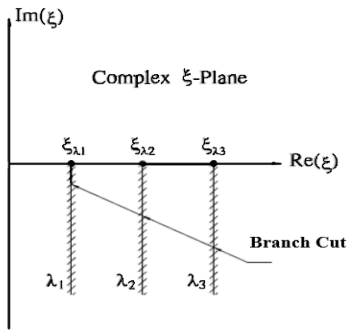
$$f(r, z) = \int_0^{\infty} \tilde{f}^m(\xi, z) \xi J_m(r\xi) d\xi$$

با استفاده از روابط ۴ و ۵، معادلات دیفرانسیل حاکم بر توابع پتانسیل مجهول φ و χ به صورت زیر به دست می‌آیند:

$$\left(\tilde{\nabla}_1^2 \tilde{\nabla}_2^2 + \delta \omega^2 \frac{d^2}{dz^2} \right) \tilde{\varphi}_m^m = 0 \quad (۷)$$

$$\tilde{\nabla}_0^2 \tilde{\chi}_m^m = 0$$

که در رابطه بالا:



شکل (۲): بریدگی‌های شاخه‌ای برای ماده‌ای با رفتار ایزوتروپیک عرضی.

۴- بارگذاری

بارگذاری‌های هارمونیک مختلفی برای انتشار امواج توسط محققین مختلف ارائه شده‌اند، ولی سه مدل از بارگذاری‌ها اهمیت بیشتری نسبت به بارگذاری‌های دیگر دارند و در این مقاله نیز از این سه بارگذاری استفاده شده است.

۴-۱- بارگذاری نقطه‌ای

با توجه به اینکه، تمامی معادلات حاکم بر مسئله به دلیل دشواری حل در فضای زمان به فضای هنکل انتقال داده شده‌اند، بایستی مؤلفه‌های هر سه بارگذاری نیز در فضای تبدیل یافته به دست آیند (شکل ۳). بارگذاری نقطه-ای در فضای هنکل به‌قرار زیر است [۲۲]:

$$X_{+1}(\xi) = \frac{F_h}{2\pi} e^{-i\theta_0}, \quad X_m = 0 \text{ for } m \neq +1$$

$$Y_{-1}(\xi) = \frac{F_h}{2\pi} e^{+i\theta_0}, \quad Y_m = 0 \text{ for } m \neq -1$$

$$Z_0(\xi) = \frac{F_v}{2\pi}, \quad Z_m = 0 \text{ for } m \neq 0$$

که F_h و F_v ، مؤلفه‌های قائم و افقی می‌باشند و θ_0 در شکل زیر نشان داده شده است.

توابع $\lambda_{1,2}$ و λ_3 ، به توابع چند مقدار مشهور هستند. هر تابع چند مقدار در واقع مجموعه‌ای از توابع تک مقدار هستند. هر یک از اعضای این مجموعه یک بریدگی شاخه‌ای از تابع چند مقدار نامیده می‌شود. برای تبدیل این توابع به توابع تک مقدار باید مسیرهای انتگرالگیری به نحوی انتخاب گردند که بریدگی‌های شاخه‌ای فقط اعداد مختلط با قسمت‌های مثبت را در بر گیرند. به نقاط تکین توابع چند مقدار، نقاط شاخه‌ای نیز می‌گویند.

نقاط شاخه‌ای توابع $\lambda_{1,2}$ و λ_3 ، ξ_{λ_1} ، ξ_{λ_2} و ξ_{λ_3} می‌باشد که ξ_{λ_1} و ξ_{λ_2} نشان‌دهنده‌ی اعداد امواج قائم فشاری P و قائم برشی SV می‌باشند و ξ_{λ_3} نشان‌دهنده‌ی عدد موج افقی برشی SH می‌باشد. در شکل ۲، مطالب گفته شده، به‌وضوح دیده می‌شود. روابط تنش‌ها و جابجایی‌ها، برحسب دو تابع φ و χ و با اعمال سری فوریه مختلط در راستای مؤلفه مماسی و تبدیل انتگرال هنکل در راستای مؤلفه شعاعی، به‌صورت زیر به دست می‌آیند:

$$u_{zm}^m = \left(\alpha_2 \frac{d^2}{dz^2} + \frac{\rho\omega^2}{c_{66}^s} - \xi^2(1+\alpha_1) \right) \tilde{\varphi}_m^m \quad (11)$$

$$u_{rm}^{m+1} + iu_{\theta m}^{m+1} = \alpha_3 \xi \frac{d}{dz} \tilde{\varphi}_m^m - i\xi \tilde{\chi}_m^m$$

$$u_{rm}^{m-1} - iu_{\theta m}^{m-1} = -\alpha_3 \xi \frac{d}{dz} \tilde{\varphi}_m^m - i\xi \tilde{\chi}_m^m$$

$$\sigma_{zzm}^m = \frac{d}{dz} \left(\alpha_3 c_{13} \xi^2 + c_{33} \left(\frac{\rho\omega^2}{c_{66}} - \xi^2(1+\alpha_1) \right) \right) \tilde{\varphi}_m^m$$

$$+ c_{33} \alpha_2 \frac{d^2}{dz^2} \tilde{\varphi}_m^m$$

$$\sigma_{zr}^{m+1} + i\sigma_{z\theta}^{m+1} = c_{44} \xi \left((\alpha_3 - \alpha_2) \frac{d^2}{dz^2} \right.$$

$$\left. + \xi^2(1+\alpha_1) - \frac{\rho\omega^2}{c_{66}} \right) \tilde{\varphi}_m^m - ic_{44} \xi \frac{d\tilde{\chi}_m^m}{dz}$$

$$\sigma_{zr}^{m-1} - i\sigma_{z\theta}^{m-1} = -c_{44} \xi \left((\alpha_3 - \alpha_2) \frac{d^2}{dz^2} \right.$$

$$\left. + \xi^2(1+\alpha_1) - \frac{\rho\omega^2}{c_{66}} \right) \tilde{\varphi}_m^m - ic_{44} \xi \frac{d\tilde{\chi}_m^m}{dz}$$

$$\begin{aligned}
 u_z(r, z=H) &= 0 \\
 u_r(r, z=H) &= 0 \\
 u_\theta(r, z=H) &= 0 \\
 \sigma_{zz}(r, z=0) &= \begin{cases} f_v(r, \theta, z) & (r, \theta) \in Q \\ 0 & (r, \theta) \notin Q \end{cases} \quad (12) \\
 \sigma_{zr}(r, z=0) &= 0 \\
 \sigma_{z\theta}(r, z=0) &= 0
 \end{aligned}$$

همان‌طور که گفته شد، تمامی معادلات حاکم بر مسئله به دلیل دشواری حل در فضای زمان به فضای هنکل انتقال داده شده‌اند و به همین دلیل بایستی شرایط مرزی حاکم نیز در فضای تبدیل به دست آیند. لذا از روابط ۱۱ استفاده می‌شود. بارگذاری اعمال شده در این مقاله به صورت قائم و متقارن نسبت به راستای θ در نظر گرفته شده است. پس نتیجه می‌شود تمامی تنش‌ها و تغییر مکان‌های ایجاد شده در راستای θ برابر صفر می‌باشد. از طرفی از رابطه‌ی ۲ نتیجه می‌شود که تابع پتانسیل χ با توجه به بارگذاری اعمال شده برابر صفر خواهد بود، پس طبق رابطه‌ی ۷، عبارات $E_1(\xi)$ و $E_2(\xi)$ حذف خواهند شد.

با تشکیل دستگاه معادلات جبری به فرم $M * X = N$ ، ضرایب مجهول توابع پتانسیل به سادگی مشخص می‌گردند. در این دستگاه معادلات بردارها به فرم زیر هستند:

$$\mathbf{X} = \begin{bmatrix} C_1(\xi) & D_1(\xi) & C_2(\xi) & D_2(\xi) \end{bmatrix}^T \quad (13)$$

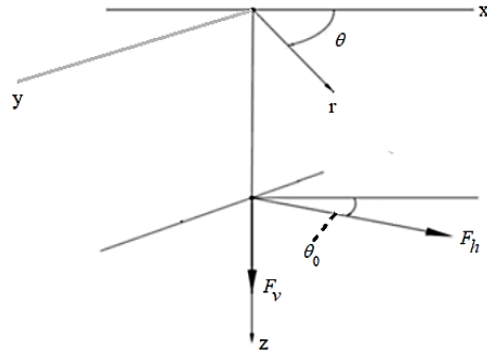
$$\mathbf{N} = \begin{bmatrix} Z^0(\xi) & 0 & 0 & 0 \end{bmatrix}^T$$

همچنین ماتریس ضرایب معلوم M به شکل زیر است:

$$\mathbf{M} = \begin{bmatrix} [\sigma_{zz} n_i(\xi, 0)]_{1 \times 2} & [\sigma_{zz} p_i(\xi, 0)]_{1 \times 2} \\ [\sigma_{zr} n_i(\xi, 0)]_{1 \times 2} & [\sigma_{zr} p_i(\xi, 0)]_{1 \times 2} \\ [u_z n_i(\xi, H)]_{1 \times 2} & [u_z p_i(\xi, H)]_{1 \times 2} \\ [u_r n_i(\xi, H)]_{1 \times 2} & [u_r p_i(\xi, H)]_{1 \times 2} \end{bmatrix} \quad (14)$$

که در رابطه بالا:

$$\begin{aligned}
 \sigma_{zz} n_i(\xi, z) &= \frac{d}{dz} (\alpha_3 c_{13} \xi^2 + c_{33} \left(\frac{\rho \omega^2}{c_{66}} \right. \\
 &\quad \left. - \xi^2 (1 + \alpha_1) \right) + c_{33} \alpha_2 \frac{d^2}{dz^2} \Big) e^{-\lambda_i z}
 \end{aligned}$$



شکل (۳): مؤلفه‌های قائم و افقی برای بارگذاری نقطه‌ای.

۴-۲- بارگذاری حلقوی

مؤلفه‌های بارگذاری حلقوی در فضای هنکل به‌قرار زیر است [۲۲]:

$$X^{+1}(\xi) = aF_h J_0(a, \xi) e^{-i\theta_0}, X_m = 0 \text{ for } m \neq +1$$

$$Y^{-1}(\xi) = aF_h J_0(a, \xi) e^{+i\theta_0}, Y_m = 0 \text{ for } m \neq -1$$

$$Z^0(\xi) = aF_v J_0(a, \xi), Z_m = 0 \text{ for } m \neq 0$$

۴-۳- بارگذاری یکنواخت صفحه‌ای

مؤلفه‌های بارگذاری یکنواخت صفحه‌ای در فضای هنکل به‌قرار زیر است [۲۲]:

$$X^{+1}(\xi) = aF_h \frac{J_1(a, \xi)}{\xi} e^{-i\theta_0}, X_m = 0 \text{ for } m \neq +1$$

$$Y^{-1}(\xi) = aF_h \frac{J_1(a, \xi)}{\xi} e^{+i\theta_0}, Y_m = 0 \text{ for } m \neq -1$$

$$Z^0(\xi) = aF_v \frac{J_1(a, \xi)}{\xi}, Z_m = 0 \text{ for } m \neq 0$$

۵- شرایط مرزی حاکم بر تک لایه

طبق شکل ۱، شرایط مرزی حاکم بر مسئله به صورت زیر است:

همکاران [۱۵] مورد مطالعه قرار گرفته است. مشخصات دولایه مدنظر مطابق جدول ۱ می باشد.

جدول (۱): مشخصات مواد در صحنه گذاری [۱۵]

لایه دوم	لایه اول	لایه
۴۷/۹	۵۵۳	c_{11} (GPa)
۱۵/۹	۲۸۰	c_{12} (GPa)
۱۱/۲	۲۵۰	c_{13} (GPa)
۲۳/۹	۲۵۰	c_{33} (GPa)
۹	۵۰	c_{44} (GPa)
۹۰	۵۰۰۰	ρ ($\frac{\text{kg}}{\text{m}^3}$)
-	۱	$\frac{H}{a}$

شکل ۴، تغییر مکان قائم بی بعد در راستای محور Z را نشان می دهد. با مشاهده شکل ملاحظه می گردد که روش به کار گرفته شده برای تک لایه ایزوتروپیک عرضی دارای صحت و دقت کافی برای تحلیل می باشد. با توجه به اینکه معادلات در فضای تحلیلی انجام شده اند، بنابراین باید انطباق کامل برای صحت سنجی حاصل گردد.

۶-۲- نتایج عددی

به منظور تحلیل دینامیکی و ارائه پاسخ های ماده مورد نظر به صورت گرافیکی، سه پارامتر فرکانس، مشخصات مواد مورد استفاده و نوع بار تحریک، به عنوان متغیر در نظر گرفته شده اند. مواد استفاده شده در این مقاله از مواد مرکب Carbon/Epoxy و Kevlar/Epoxy، Glass/Epoxy می باشد که در جدول ۲ مشخصات مربوط به این مواد ذکر شده است و جدول ۳، مشخصات بی بعد مواد مرکب استفاده شده برای تک لایه ایزوتروپیک عرضی را نشان می دهد.

پارامترهای مورد بررسی با استفاده از روابط زیر بی بعد شده اند.

$$\sigma_{zr} n_i(\xi, z) = 2c_{44}\xi \left((\alpha_3 - \alpha_2) \frac{d^2}{dz^2} + \xi^2 (1 + \alpha_1) - \frac{\rho\omega^2}{c_{66}} \right) e^{-\lambda_i z}$$

$$u_z n_i(\xi, z) = \left(\alpha_2 \frac{d^2}{dz^2} + \frac{\rho\omega^2}{c_{66}} - \xi^2 (1 + \alpha_1) \right) e^{-\lambda_i z}$$

$$u_r n_i = 2\alpha_3 \xi \frac{d}{dz} e^{-\lambda_i z}$$

$$\sigma_{zz} p_i(\xi, z) = \frac{d}{dz} \left(\alpha_3 c_{13} \xi^2 + c_{33} \left(\frac{\rho\omega^2}{c_{66}} - \xi^2 (1 + \alpha_1) \right) + c_{33} \alpha_2 \frac{d^2}{dz^2} \right) e^{\lambda_i z}$$

$$\sigma_{zr} p_i(\xi, z) = 2c_{44}\xi \left((\alpha_3 - \alpha_2) \frac{d^2}{dz^2} + \xi^2 (1 + \alpha_1) - \frac{\rho\omega^2}{c_{66}} \right) e^{\lambda_i z}$$

$$u_z p_i(\xi, z) = \left[\alpha_2 \frac{d^2}{dz^2} + \frac{\rho\omega^2}{c_{66}} - \xi^2 (1 + \alpha_1) \right] e^{\lambda_i z}$$

$$u_r p_i = 2\alpha_3 \xi \frac{d}{dz} e^{\lambda_i z}, \quad (i=1,2)$$

با تعیین ضرایب مجهول، توابع پتانسیل بردار تغییر مکان و تانسورهای تنش برای تک لایه ایزوتروپیک عرضی مورد نظر در فضای تبدیل یافته هنکل به سادگی مشخص می شوند و با استفاده از عکس تبدیل هنکل، جوابها در فضای فرکانسی حاصل می شوند. توجه شود که انتگرال هایی که از معکوس هنکل به دست می آیند، به صورت تحلیلی قابل حل نیستند و بایستی از روش های عددی محاسبه شوند.

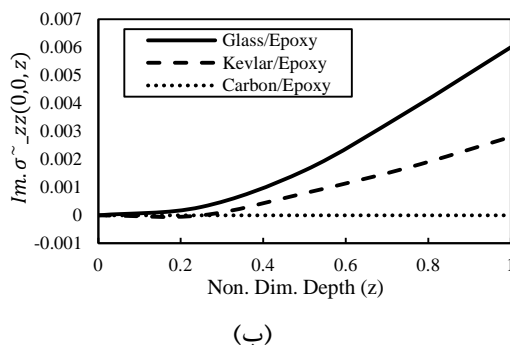
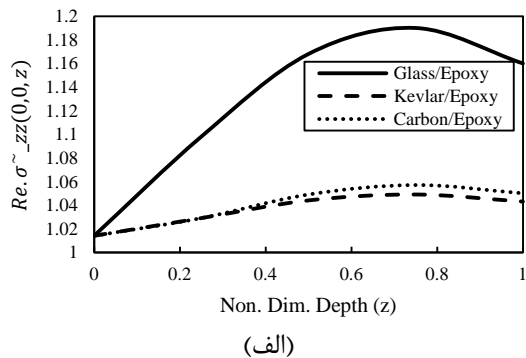
۶-۶- اعتبارسنجی و نتایج

۶-۱- اعتبارسنجی

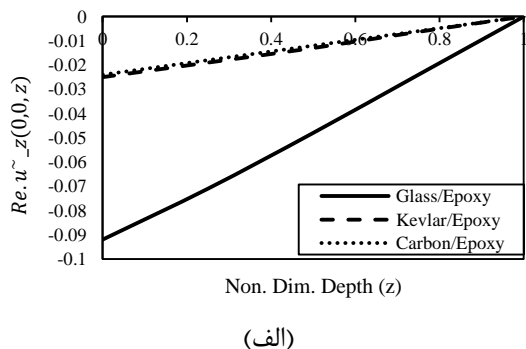
به منظور اعتبارسنجی یک حالت خاص در نظر گرفته شده است. یک محیط نیمه بی نهایت دولایه با رفتار ایزوتروپیک عرضی و تحت نیروهای هارمونیک که توسط خجسته و

\tilde{c}_{44}	۱/۲۳	۱/۱۲	۲/۰۹۳
$\tilde{\rho}$	۱	۱	۱

شکل‌های ۵ و ۶، تنش عمودی و جابجایی در راستای عمودی را برای سه ماده‌ی ایزوتروپیک عرضی Glass/Epoxy، Kevlar/Epoxy و Carbon/Epoxy، تحت فرکانس تحریک یکسان و بارگذاری یکسان نمایش می‌دهند.

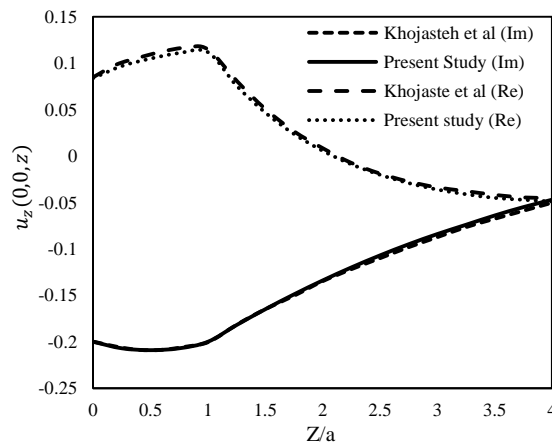


شکل (۵): (الف) قسمت حقیقی و (ب) قسمت موهومی تنش نرمالیزه شده‌ی σ_{zz} برای ضخامت بی بعد $h=1$ ، تحت بارگذاری Patch load بر روی ماده ایزوتروپیک عرضی و فرکانس تحریک بی بعد $\omega=2$ ، برای مصالح مختلف.



$$\tilde{c}_{ij} = \frac{c_{ij}}{c_{66}} \quad (i=1,3,4 \quad j=1,2,3,4), \quad \tilde{\rho} = \frac{\rho}{\rho} \quad (15)$$

$$\tilde{\omega} = a\omega \sqrt{\frac{\rho}{c_{44}}}, \quad \tilde{H} = \frac{H}{a} \quad (a=1)$$



شکل (۴): مقایسه تغییرمکان حاصل از مطالعه حاضر و مقاله خجسته و همکاران [۱۵].

جدول (۲): مشخصات مواد مرکب استفاده شده برای تک لایه ایزوتروپیک عرضی (واحد مطابق جدول (۱) [۲۳])

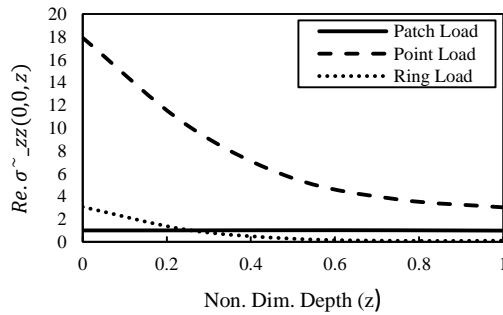
ماده	Glass/Epoxy	Kevlar/Epoxy	Carbon/Epoxy
c_{11}	۱۴/۷۶۵	۶/۶۷۲	۱۴/۷۹۴
c_{12}	۷/۸۳۲	۲/۷۴۴	۸/۱۰۶
c_{13}	۶/۳۲۷	۳/۲۰۱	۶/۱۸۳
c_{33}	۴۴/۵۴۳	۸۲/۱۷۷	۱۵۰/۳۳۹
c_{44}	۴/۳	۲/۲	۷
ρ	۱۹۷۰	۱۳۸۰	۱۶۰۰
H	۱	۱	۱

جدول (۳): مشخصات بی بعد مواد مرکب استفاده شده برای تک لایه ایزوتروپیک عرضی

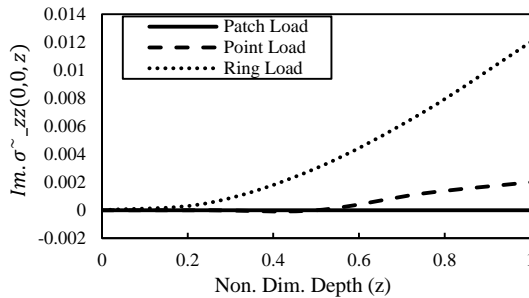
ماده	Glass/Epoxy	Kevlar/Epoxy	Carbon/Epoxy
\tilde{c}_{11}	۴/۲۲	۳/۳۹۷	۴/۴۲۴
\tilde{c}_{12}	۲/۲۴	۱/۳۹۷	۲/۴۲۴
\tilde{c}_{13}	۱/۸	۱/۶۲۹	۱/۸۴۸
\tilde{c}_{33}	۱۲/۷۳	۴۱/۸۴۱	۴۴/۹۵۷

هستند که می‌توان از آن صرف‌نظر نمود ولی در حالت کلی ماکزیمم مقدار جابجایی عمودی برای ماده Glass/Epoxy می‌باشد.

شکل‌های ۷ و ۸، تأثیر بارگذاری‌های مختلف بر روی یک ماده ایزوتروپیک عرضی مشخص، تحت فرکانس تحریک یکسان را نشان می‌دهند.



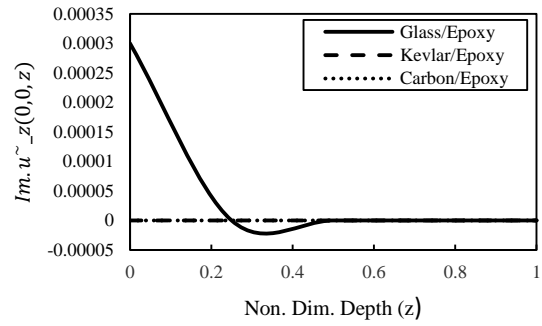
(الف)



(ب)

شکل (۷): (الف) قسمت حقیقی و (ب) قسمت موهومی تنش نرمالیزه شده σ_{zz} برای ضخامت بی بعد $h=1$ ، ماده ایزوتروپیک عرضی Glass/Epoxy و تحت فرکانس بی بعد $\omega=2$ ، برای بارگذاری‌های مختلف.

در شکل ۷ الف مشاهده می‌شود که ماکزیمم تنش عمودی ایجاد شده برای قسمت حقیقی، مربوط به بارگذاری نقطه‌ای (Point load) می‌باشد که کاملاً یک روند کاهشی را در طول ضخامت موردنظر دارد، درحالی‌که در قسمت موهومی، ماکزیمم تنش ایجاد شده برای بارگذاری حلقوی (Ring load) می‌باشد که با توجه به نمودار، یک روند افزایشی برای این بارگذاری مشاهده می‌شود؛ درواقع بارگذاری حلقوی باعث ایجاد بیشترین زاویه فرکانس نشر موج برای تنش عمودی می‌گردد.



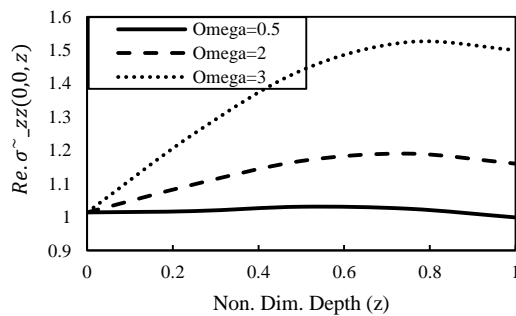
(ب)

شکل (۶): (الف) قسمت حقیقی و (ب) قسمت موهومی جابجایی نرمالیزه شده u_z برای ضخامت بی بعد $h=1$ ، تحت بارگذاری Patch load بر روی ماده ایزوتروپیک عرضی و فرکانس تحریک بی بعد $\omega=2$ ، برای مصالح مختلف.

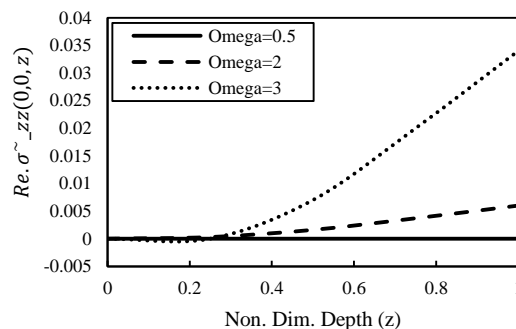
شکل ۵ الف قسمت حقیقی و شکل ۵ ب قسمت موهومی تنش عمودی برحسب ضخامت ماده‌ی موردنظر را نشان می‌دهد. با توجه به شکل ۵ الف، مشاهده می‌شود که ماکزیمم مقدار تنش عمودی برای ماده‌ی Glass/Epoxy می‌باشد و دو ماده‌ی دیگر تقریباً رفتار نزدیک به هم را دارند؛ هر سه ماده تا نزدیکی ضخامت بی بعد 0.72 روند صعودی و از 0.72 به بعد روند نزولی دارند، با توجه به اعمال بار از سمت بالا و از طرف پایین نیز به علت محدود بودن جابجایی و اعمال نیروی تکیه‌گاهی عمودی، لذا تنش‌های محوری در نزدیکی میانه لایه نسبت به ابتدا و انتها اندازه بزرگ‌تری خواهند داشت؛ درحالی‌که در قسمت موهومی (شکل ۵ ب) که نشان‌دهنده‌ی زاویه نشر موج می‌باشد، مقادیر برای هر سه ماده بسیار ناچیز هستند که می‌توان از آن صرف‌نظر نمود. البته مقدار ماکزیمم مجدداً متعلق به ماده Glass/Epoxy می‌باشد.

شکل ۶، نشان می‌دهد که دو ماده‌ی Carbon/Epoxy و Kevlar/Epoxy رفتار نزدیک به هم را دارا هستند و دلیل آن این است که ضرایب بی بعد الاستیسیته این دو ماده خیلی به همدیگر نزدیک هستند و انتظار می‌رود نمودارهای آن‌ها نیز تقریباً به همدیگر نزدیک باشند و بیشترین جابجایی در راستای عمودی برای ماده Glass/Epoxy می‌باشد؛ درحالی‌که در قسمت موهومی، مقادیر کلی جابجایی در راستای عمود برای هر سه ماده بسیار ناچیز

موهومی، افزایش و در هر دو مقادیر جابجایی روند نزولی پیدا می‌کنند.



(الف)

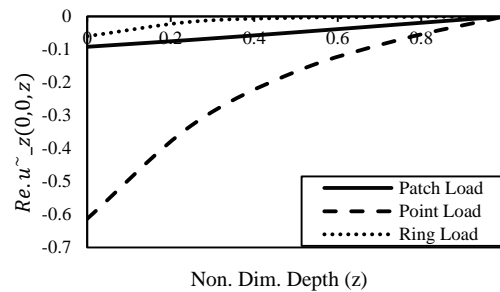


(ب)

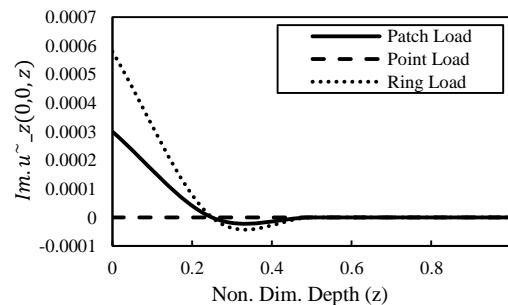
شکل (۹): (الف) قسمت حقیقی و (ب) قسمت موهومی تنش نرمالیزه شده σ_{zz} برای ضخامت بی بعد $h=1$ ، ماده ایزوتروپیک عرضی Glass/Epoxy و تحت بارگذاری Patch load بر روی ماده موردنظر، برای فرکانس‌های تحریک مختلف.

۷- نتیجه‌گیری

در این مطالعه روش تحلیلی برای به دست آوردن توابع گرین انتشار امواج برای تک لایه ایزوتروپیک عرضی، تحت بارگذاری هارمونیک در راستای عمود و متقارن نسبت به محور عمودی بیان شده است.



(الف)



(ب)

شکل (۸): (الف) قسمت حقیقی و (ب) قسمت موهومی جابجایی نرمالیزه شده u_z برای ضخامت بی بعد $h=1$ ، ماده ایزوتروپیک عرضی Glass/Epoxy و تحت فرکانس بی بعد $\omega=2$ ، برای بارگذاری‌های مختلف.

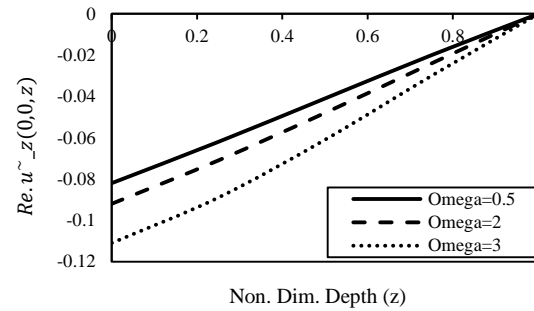
در شکل ۸ الف مشاهده می‌شود که بیشترین جابجایی در راستای عمودی در بخش حقیقی، برای بارگذاری نقطه‌ای می‌باشد که یک روند کاهشی در راستای ضخامت را دارا است؛ در حالی که برای قسمت موهومی، مشاهده می‌شود که مقادیر جابجایی در راستای عمود، برای هر سه بارگذاری تقریباً نزدیک صفر است. ولی در حالت کلی برای بارگذاری حلقوی بیشتر است.

شکل‌های ۹ و ۱۰، تأثیر فرکانس‌های تحریک مختلف برای بارگذاری یکسان روی سطح ماده ایزوتروپیک عرضی مشخص را نشان می‌دهد. شکل‌های ۹ الف و ب، نشان می‌دهد که با افزایش فرکانس تحریک، مقدار تنش عمودی در بخش حقیقی و موهومی، افزایش پیدا می‌کند. شکل‌های ۱۰ الف و ب، نشان می‌دهد که با افزایش فرکانس تحریک مقادیر جابجایی در راستای عمودی در بخش حقیقی و

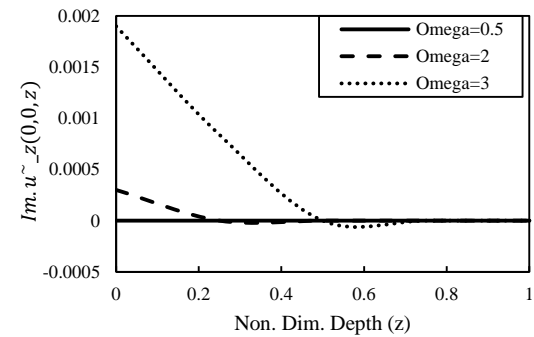
- در مقایسه بارگذاری‌های هارمونیک مختلف با فرکانس تحریک یکسان مشاهده شد که در بخش حقیقی بارگذاری نقطه‌ای و در بخش موهومی بارگذاری حلقوی، تنش و جابجایی بیشتری را ایجاد می‌کنند. در واقع بارگذاری حلقوی باعث ایجاد بیشینه زاویه فرکانس حاصل از نشر موج در توابع گرین تنش و تغییر مکان می‌گردد.
- در مقایسه فرکانس‌های تحریک متفاوت تحت بارگذاری و ماده ایزوتروپیک عرضی، مشاهده گردید که تنش عمودی و جابجایی عمودی با افزایش فرکانس تحریک، افزایش پیدا می‌کنند.

۸- مراجع

- [1] Lamb H. I. On the propagation of tremors over the surface of an elastic solid. Philosophical Transactions of the Royal Society of London. Series A, Containing papers of a mathematical or physical character. 1904;203(359-371):1-42.
- [2] Achenbach J, A Jd. Wave Propagation In Elastic Solids. 1973.
- [3] Rice JM, Sadd MH. Propagation and scattering of SH-waves in semi-infinite domains using a time-dependent boundary element method. Journal of Applied Mechanics. 1984;51(3): 641-645.
- [4] Harding JW, Sneddon IN. The elastic stresses produced by the indentation of the plane surface of a semi-infinite elastic solid by a rigid punch. Mathematical Proceedings of the Cambridge Philosophical Society. 1945;41(1):16-26.
- [5] Pak RYS, Jennings PC. Elastodynamic Response of Pile Under Transverse Excitations. Journal of Engineering Mechanics. 1987;113(7):1101-1116.
- [6] Pan YC, Chou TW. Point force solution for an infinite transversely isotropic solid. Journal of Applied Mechanics. 1976;43(4):608-612.
- [7] Buchwald V. Rayleigh waves in transversely isotropic media. The Quartely Journal of Mechanics and Applied Mathematics. 1961;14(3):293-318.
- [8] Payton R. Elastic wave propagation in transversely isotropic media. Springer Science and Business Media. 2012;4.
- [9] Chen W, Wang D, Mou Y, Zhao, Chen G. Effect of flow-independent viscosity on the propagation of



(الف)



(ب)

شکل (۱۰): (الف) قسمت حقیقی و (ب) قسمت موهومی جابجایی نرمالیزه شده u_z برای ضخامت بی‌بعد $h=1$ ، ماده ایزوتروپیک عرضی Glass/Epoxy و تحت بارگذاری Patch load بر روی ماده موردنظر، برای فرکانس‌های تحریک مختلف.

از جمله تفاوت‌های یک محیط نیمه‌بی‌نهایت با محیط تک لایه در اصل تشعشع می‌باشد؛ وجود تشعشع در محیط‌های نیمه‌بی‌نهایت باعث می‌شود جملات e^{kz} در توابع پتانسیل حذف شوند. توابع گرین به دست آمده، کاربردهای مستقیم و غیرمستقیمی در زمینه‌های مختلف مهندسی مکانیک جامدات از جمله صنایع نظامی دارد. نتایج مهم حاصل از توابع گرین برای تک لایه ایزوتروپیک عرضی به ترتیب در زیر آمده است.

- ماده ایزوتروپیک عرضی Glass/Epoxy، تحت بارگذاری و فرکانس تحریک یکسان، تنش عمودی، تنش برشی، تغییر مکان در راستای عمودی و تغییر مکان در راستای شعاعی بیشتری نسبت به دو ماده‌ی Carbon/Epoxy و Kevlar/Epoxy دارد.

underlying a liquid layer. *Applied Mathematical Modelling*. 2021;95:575-592.

[21] Ye Z, Ai ZY. Dynamic analysis of multilayered unsaturated poroelastic media subjected to a vertical time-harmonic load. *Applied Mathematical Modelling*. 2021;90:394-412.

[22] Pooladi A, Rahimian M, and Pak RYS. Poroelastodynamic potential method for transversely isotropic fluid-saturated poroelastic media. *Applied Mathematical Modelling*. 2017;50:177-199.

[23] Jones RM. *Mechanics of composite materials*. CRC press. 2018.

Rayleigh wave in porous media. *Soil Dynamics and Earthquake Engineering*. 2021;142:106564.

[10] Liang J, Wu M, Ba Z. Three-dimensional dynamic Green's functions for transversely isotropic saturated half-space subjected to buried loads. *Engineering Analysis with Boundary Elements*. 2019;108:301-320.

[11] Eskandari-Ghadi M. A complete solution of the wave equations for transversely isotropic media. *Journal of Elasticity*. 2005;81(1):1-19.

[12] Rahimian M, Eskandari-Ghadi M, Pak RYS, Khojasteh A. Elastodynamic potential method for transversely isotropic solid. *Journal of Engineering Mechanics*. 2007;133(10):1134-1145.

[13] Khojasteh A, Rahimian M, Eskandari-Ghadi M, Pak RYS. Asymmetric wave propagation in a transversely isotropic half-space in displacement potentials. *International Journal of Engineering Science*. 2008;46(7):690-710.

[14] Khojasteh A, Rahimian M, and Pak RYS. Three-dimensional dynamic Green's functions in transversely isotropic bi-materials. *International Journal of Solids and Structure*. 2008;45(18-19):4952-4972.

[15] Khojasteh A, Rahimian M, Pak RYS, Eskandari-Ghadi M. Asymmetric dynamic Green's functions in a two-layered transversely isotropic half-space. *Journal of Engineering Mechanics*. 2008;134(9):777-787.

[16] Akbari F, Khojasteh A, Rahimian M. Asymmetric Green's functions for exponentially graded transversely isotropic substrate-coating system. *Journal of Central South University*. 2018;25(1):169-184.

[17] Zafari Y, Shahmohamadi M, Khojasteh A, Rahimian M. Asymmetric Green's functions for a functionally graded transversely isotropic tri-material. *Applied Mathematical Modelling*. 2019;72:176-201.

[18] Mahmoodian M, Eskandari-Ghadi M, Nikkhoo A. Rayleigh, Love and Stoneley waves in a transversely isotropic saturated poroelastic media by means of potential method. *Soil Dynamics and Earthquake Engineering*. 2020;134:106139.

[19] Eskandari M, and Ahmadi SF. Green's functions of a surface-stiffened transversely isotropic half-space. *International Journal of Solids and Structure*. 2012;49(23-24):3282-3290.

[20] Teymouri H, Khojasteh A, Rahimian M, Pak RYS. Rigid disc vibration in a multi-layered transversely isotropic poroelastic half-space



Evaluation of Wave Propagation in a Transversely Isotropic Monolayer with Finite Thickness by the Potential Functions Method

Hadi Teymouri¹, Hasan Biglari^{2*}

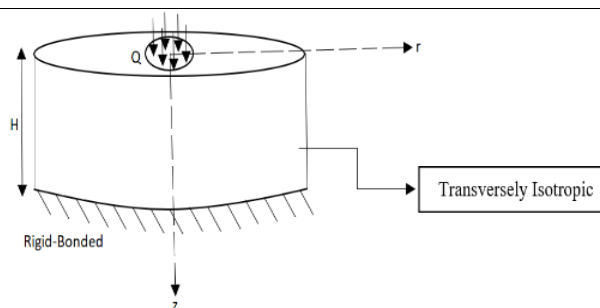
¹MSc, Department of Mechanical Engineering, University of Tabriz, Tabriz, Iran

²Associate Professor, Department of Mechanical Engineering, University of Tabriz, Tabriz, Iran

HIGHLIGHTS

- The transversely isotropic material Glass/Epoxy has the maximum green's functions of stress and displacement.
- The maximum frequency angle of the wave motion for green's functions of stress and displacement.

GRAPHICAL ABSTRACT



ARTICLE INFO

Article history:

Article Type: Research paper

Received: 29 March 2022

Received in revised form: 13 May 2022

Accepted: 21 May 2022

Available online: 28 June 2022

*Correspondence:

hbiglari@tabrizu.ac.ir

How to cite this article:

H. Teymouri, H. Biglari. Evaluation of wave propagation in a transversely isotropic monolayer with finite thickness by the potential functions method. *Journal of Aerospace Mechanics*. 2022; 18 (3): 13-26.

Keywords:

Wave propagation
Potential functions
Hankel transform
Transversely isotropic
Monolayer

ABSTRACT

In this study, wave propagation in a transversely isotropic monolayer is discussed. The purpose of this paper is to find green's functions of wave motion to find the stresses and displacements resulting from the wave propagation of harmonic forces applied on the monolayer surface. Wave propagation equations in a transversely isotropic monolayer are quite complicated equations with partial derivatives, in which potential functions are utilized to divide the governing equations into two individual equations. Then, the resulting governing equations are transformed into simpler equations considering the boundary conditions by using Hankel and Fourier series transform in the direction of radial and tangential components, respectively. A comparison-oriented approach is presented to ensure the accuracy of the obtained numerical results. Numerical wave propagation results for transversely isotropic monolayer are investigated under different frequencies, loads, and materials. One of the important results from this study is that the transversely isotropic material Glass/Epoxy has the maximum green's functions of stress and displacement and also the ring load causes the maximum frequency angle of the wave motion for green's functions of stress and displacement.

